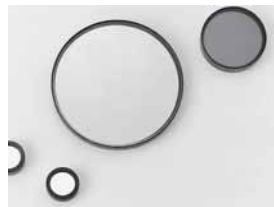
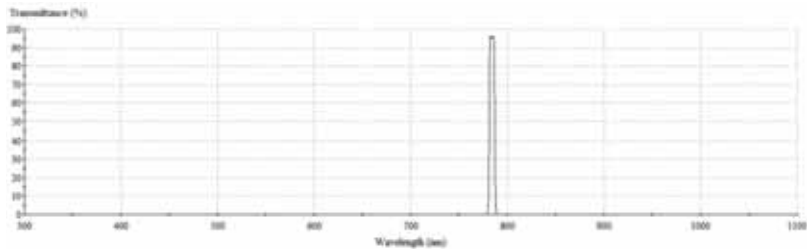


窄带干涉滤光片

窄带干涉滤光片，通常是指单一波长或者半峰全宽 (FWHM) 较窄的干涉滤光片。窄带干涉滤光片有几个重要的参数：中心波长、半峰宽度、峰值透过率等。



窄带滤光片曲线



JSL系列窄带干涉滤光片(Narrow Bandpass Interference Filters): 命名规则: JSL 中心波长-尺寸(直径)

选型表:

| 产品型号 | 中文产品名称 | 基板材质 | 中心波长 | 半峰值宽带 | 峰值透过率 | 产品尺寸(mm) | 截止范围 | 截止深度 | 表面光洁度 |
|-------------|---------|------|------|--------|-------|----------|------------|------|-------|
| JSL405-12.7 | 窄带干涉滤光片 | K9玻璃 | 405 | 10±2nm | >90% | 12.7 | 200-1200nm | OD3 | 60-40 |
| JSL405-25.4 | 窄带干涉滤光片 | K9玻璃 | 405 | 10±2nm | >90% | 25.4 | 200-1200nm | OD3 | 60-40 |
| JSL405-50.8 | 窄带干涉滤光片 | K9玻璃 | 405 | 10±2nm | >90% | 50.8 | 200-1200nm | OD3 | 60-40 |
| JSL410-12.7 | 窄带干涉滤光片 | K9玻璃 | 410 | 10±2nm | >90% | 12.7 | 200-1200nm | OD3 | 60-40 |
| JSL410-25.4 | 窄带干涉滤光片 | K9玻璃 | 410 | 10±2nm | >90% | 25.4 | 200-1200nm | OD3 | 60-40 |
| JSL410-50.8 | 窄带干涉滤光片 | K9玻璃 | 410 | 10±2nm | >90% | 50.8 | 200-1200nm | OD3 | 60-40 |
| JSL415-12.7 | 窄带干涉滤光片 | K9玻璃 | 415 | 10±2nm | >90% | 12.7 | 200-1200nm | OD3 | 60-40 |
| JSL415-25.4 | 窄带干涉滤光片 | K9玻璃 | 415 | 10±2nm | >90% | 25.4 | 200-1200nm | OD3 | 60-40 |
| JSL415-50.8 | 窄带干涉滤光片 | K9玻璃 | 415 | 10±2nm | >90% | 50.8 | 200-1200nm | OD3 | 60-40 |
| JSL420-12.7 | 窄带干涉滤光片 | K9玻璃 | 420 | 10±2nm | >90% | 12.7 | 200-1200nm | OD3 | 60-40 |
| JSL420-25.4 | 窄带干涉滤光片 | K9玻璃 | 420 | 10±2nm | >90% | 25.4 | 200-1200nm | OD3 | 60-40 |
| JSL420-50.8 | 窄带干涉滤光片 | K9玻璃 | 420 | 10±2nm | >90% | 50.8 | 200-1200nm | OD3 | 60-40 |
| JSL430-12.7 | 窄带干涉滤光片 | K9玻璃 | 430 | 10±2nm | >90% | 12.7 | 200-1200nm | OD3 | 60-40 |
| JSL430-25.4 | 窄带干涉滤光片 | K9玻璃 | 430 | 10±2nm | >90% | 25.4 | 200-1200nm | OD3 | 60-40 |
| JSL430-50.8 | 窄带干涉滤光片 | K9玻璃 | 430 | 10±2nm | >90% | 50.8 | 200-1200nm | OD3 | 60-40 |
| JSL435-12.7 | 窄带干涉滤光片 | K9玻璃 | 435 | 10±2nm | >90% | 12.7 | 200-1200nm | OD3 | 60-40 |
| JSL435-25.4 | 窄带干涉滤光片 | K9玻璃 | 435 | 10±2nm | >90% | 25.4 | 200-1200nm | OD3 | 60-40 |
| JSL435-50.8 | 窄带干涉滤光片 | K9玻璃 | 435 | 10±2nm | >90% | 50.8 | 200-1200nm | OD3 | 60-40 |
| JSL440-12.7 | 窄带干涉滤光片 | K9玻璃 | 440 | 10±2nm | >90% | 12.7 | 200-1200nm | OD3 | 60-40 |
| JSL440-25.4 | 窄带干涉滤光片 | K9玻璃 | 440 | 10±2nm | >90% | 25.4 | 200-1200nm | OD3 | 60-40 |
| JSL440-50.8 | 窄带干涉滤光片 | K9玻璃 | 440 | 10±2nm | >90% | 50.8 | 200-1200nm | OD3 | 60-40 |
| JSL450-12.7 | 窄带干涉滤光片 | K9玻璃 | 450 | 10±2nm | >90% | 12.7 | 200-1200nm | OD3 | 60-40 |
| JSL450-25.4 | 窄带干涉滤光片 | K9玻璃 | 450 | 10±2nm | >90% | 25.4 | 200-1200nm | OD3 | 60-40 |
| JSL450-50.8 | 窄带干涉滤光片 | K9玻璃 | 450 | 10±2nm | >90% | 50.8 | 200-1200nm | OD3 | 60-40 |
| JSL457-12.7 | 窄带干涉滤光片 | K9玻璃 | 457 | 10±2nm | >90% | 12.7 | 200-1200nm | OD3 | 60-40 |
| JSL457-25.4 | 窄带干涉滤光片 | K9玻璃 | 457 | 10±2nm | >90% | 25.4 | 200-1200nm | OD3 | 60-40 |
| JSL457-50.8 | 窄带干涉滤光片 | K9玻璃 | 457 | 10±2nm | >90% | 50.8 | 200-1200nm | OD3 | 60-40 |
| JSL460-12.7 | 窄带干涉滤光片 | K9玻璃 | 460 | 10±2nm | >90% | 12.7 | 200-1200nm | OD3 | 60-40 |
| JSL460-25.4 | 窄带干涉滤光片 | K9玻璃 | 460 | 10±2nm | >90% | 25.4 | 200-1200nm | OD3 | 60-40 |
| JSL460-50.8 | 窄带干涉滤光片 | K9玻璃 | 460 | 10±2nm | >90% | 50.8 | 200-1200nm | OD3 | 60-40 |
| JSL467-12.7 | 窄带干涉滤光片 | K9玻璃 | 467 | 10±2nm | >90% | 12.7 | 200-1200nm | OD3 | 60-40 |
| JSL467-25.4 | 窄带干涉滤光片 | K9玻璃 | 467 | 10±2nm | >90% | 25.4 | 200-1200nm | OD3 | 60-40 |
| JSL467-50.8 | 窄带干涉滤光片 | K9玻璃 | 467 | 10±2nm | >90% | 50.8 | 200-1200nm | OD3 | 60-40 |
| JSL470-12.7 | 窄带干涉滤光片 | K9玻璃 | 470 | 10±2nm | >90% | 12.7 | 200-1200nm | OD3 | 60-40 |
| JSL470-25.4 | 窄带干涉滤光片 | K9玻璃 | 470 | 10±2nm | >90% | 25.4 | 200-1200nm | OD3 | 60-40 |
| JSL470-50.8 | 窄带干涉滤光片 | K9玻璃 | 470 | 10±2nm | >90% | 50.8 | 200-1200nm | OD3 | 60-40 |
| JSL480-12.7 | 窄带干涉滤光片 | K9玻璃 | 480 | 10±2nm | >90% | 12.7 | 200-1200nm | OD3 | 60-40 |
| JSL480-25.4 | 窄带干涉滤光片 | K9玻璃 | 480 | 10±2nm | >90% | 25.4 | 200-1200nm | OD3 | 60-40 |
| JSL480-50.8 | 窄带干涉滤光片 | K9玻璃 | 480 | 10±2nm | >90% | 50.8 | 200-1200nm | OD3 | 60-40 |
| JSL490-12.7 | 窄带干涉滤光片 | K9玻璃 | 490 | 10±2nm | >90% | 12.7 | 200-1200nm | OD3 | 60-40 |
| JSL490-25.4 | 窄带干涉滤光片 | K9玻璃 | 490 | 10±2nm | >90% | 25.4 | 200-1200nm | OD3 | 60-40 |
| JSL490-50.8 | 窄带干涉滤光片 | K9玻璃 | 490 | 10±2nm | >90% | 50.8 | 200-1200nm | OD3 | 60-40 |
| JSL500-12.7 | 窄带干涉滤光片 | K9玻璃 | 500 | 10±2nm | >90% | 12.7 | 200-1200nm | OD3 | 60-40 |

| 产品型号 | 中文产品名称 | 基板材质 | 中心波长 | 半峰值宽带 | 峰值透过率 | 产品尺寸(mm) | 截止范围 | 截止深度 | 表面光洁度 |
|---------------|---------|------|-------|--------|-------|----------|------------|------|-------|
| JSL500-25.4 | 窄带干涉滤光片 | K9玻璃 | 500 | 10±2nm | >90% | 25.4 | 200-1200nm | OD3 | 60-40 |
| JSL500-50.8 | 窄带干涉滤光片 | K9玻璃 | 500 | 10±2nm | >90% | 50.8 | 200-1200nm | OD3 | 60-40 |
| JSL505-12.7 | 窄带干涉滤光片 | K9玻璃 | 505 | 10±2nm | >90% | 12.7 | 200-1200nm | OD3 | 60-40 |
| JSL505-25.4 | 窄带干涉滤光片 | K9玻璃 | 505 | 10±2nm | >90% | 25.4 | 200-1200nm | OD3 | 60-40 |
| JSL505-50.8 | 窄带干涉滤光片 | K9玻璃 | 505 | 10±2nm | >90% | 50.8 | 200-1200nm | OD3 | 60-40 |
| JSL510-12.7 | 窄带干涉滤光片 | K9玻璃 | 510 | 10±2nm | >90% | 12.7 | 200-1200nm | OD3 | 60-40 |
| JSL510-25.4 | 窄带干涉滤光片 | K9玻璃 | 510 | 10±2nm | >90% | 25.4 | 200-1200nm | OD3 | 60-40 |
| JSL510-50.8 | 窄带干涉滤光片 | K9玻璃 | 510 | 10±2nm | >90% | 50.8 | 200-1200nm | OD3 | 60-40 |
| JSL514.5-12.7 | 窄带干涉滤光片 | K9玻璃 | 514.5 | 10±2nm | >90% | 12.7 | 200-1200nm | OD3 | 60-40 |
| JSL514.5-25.4 | 窄带干涉滤光片 | K9玻璃 | 514.5 | 10±2nm | >90% | 25.4 | 200-1200nm | OD3 | 60-40 |
| JSL514.5-50.8 | 窄带干涉滤光片 | K9玻璃 | 514.5 | 10±2nm | >90% | 50.8 | 200-1200nm | OD3 | 60-40 |
| JSL520-12.7 | 窄带干涉滤光片 | K9玻璃 | 520 | 10±2nm | >90% | 12.7 | 200-1200nm | OD3 | 60-40 |
| JSL520-25.4 | 窄带干涉滤光片 | K9玻璃 | 520 | 10±2nm | >90% | 25.4 | 200-1200nm | OD3 | 60-40 |
| JSL520-50.8 | 窄带干涉滤光片 | K9玻璃 | 520 | 10±2nm | >90% | 50.8 | 200-1200nm | OD3 | 60-40 |
| JSL525-12.7 | 窄带干涉滤光片 | K9玻璃 | 525 | 10±2nm | >90% | 12.7 | 200-1200nm | OD3 | 60-40 |
| JSL525-25.4 | 窄带干涉滤光片 | K9玻璃 | 525 | 10±2nm | >90% | 25.4 | 200-1200nm | OD3 | 60-40 |
| JSL525-50.8 | 窄带干涉滤光片 | K9玻璃 | 525 | 10±2nm | >90% | 50.8 | 200-1200nm | OD3 | 60-40 |
| JSL530-12.7 | 窄带干涉滤光片 | K9玻璃 | 530 | 10±2nm | >90% | 12.7 | 200-1200nm | OD3 | 60-40 |
| JSL530-25.4 | 窄带干涉滤光片 | K9玻璃 | 530 | 10±2nm | >90% | 25.4 | 200-1200nm | OD3 | 60-40 |
| JSL530-50.8 | 窄带干涉滤光片 | K9玻璃 | 530 | 10±2nm | >90% | 50.8 | 200-1200nm | OD3 | 60-40 |
| JSL532-12.7 | 窄带干涉滤光片 | K9玻璃 | 532 | 10±2nm | >90% | 12.7 | 200-1200nm | OD3 | 60-40 |
| JSL532-25.4 | 窄带干涉滤光片 | K9玻璃 | 532 | 10±2nm | >90% | 25.4 | 200-1200nm | OD3 | 60-40 |
| JSL532-50.8 | 窄带干涉滤光片 | K9玻璃 | 532 | 10±2nm | >90% | 50.8 | 200-1200nm | OD3 | 60-40 |
| JSL540-12.7 | 窄带干涉滤光片 | K9玻璃 | 540 | 10±2nm | >90% | 12.7 | 200-1200nm | OD3 | 60-40 |
| JSL540-25.4 | 窄带干涉滤光片 | K9玻璃 | 540 | 10±2nm | >90% | 25.4 | 200-1200nm | OD3 | 60-40 |
| JSL540-50.8 | 窄带干涉滤光片 | K9玻璃 | 540 | 10±2nm | >90% | 50.8 | 200-1200nm | OD3 | 60-40 |
| JSL543-12.7 | 窄带干涉滤光片 | K9玻璃 | 543 | 10±2nm | >90% | 12.7 | 200-1200nm | OD3 | 60-40 |
| JSL543-25.4 | 窄带干涉滤光片 | K9玻璃 | 543 | 10±2nm | >90% | 25.4 | 200-1200nm | OD3 | 60-40 |
| JSL543-50.8 | 窄带干涉滤光片 | K9玻璃 | 543 | 10±2nm | >90% | 50.8 | 200-1200nm | OD3 | 60-40 |
| JSL546-12.7 | 窄带干涉滤光片 | K9玻璃 | 546 | 10±2nm | >90% | 12.7 | 200-1200nm | OD3 | 60-40 |
| JSL546-25.4 | 窄带干涉滤光片 | K9玻璃 | 546 | 10±2nm | >90% | 25.4 | 200-1200nm | OD3 | 60-40 |
| JSL546-50.8 | 窄带干涉滤光片 | K9玻璃 | 546 | 10±2nm | >90% | 50.8 | 200-1200nm | OD3 | 60-40 |

| 产品型号 | 中文产品名称 | 基板材质 | 中心波长 | 半峰值宽带 | 峰值透过率 | 产品尺寸(mm) | 截止范围 | 截止深度 | 表面光洁度 |
|---------------|---------|------|-------|--------|-------|----------|------------|------|-------|
| JSL550-12.7 | 窄带干涉滤光片 | K9玻璃 | 550 | 10±2nm | >90% | 12.7 | 200-1200nm | OD3 | 60-40 |
| JSL550-25.4 | 窄带干涉滤光片 | K9玻璃 | 550 | 10±2nm | >90% | 25.4 | 200-1200nm | OD3 | 60-40 |
| JSL550-50.8 | 窄带干涉滤光片 | K9玻璃 | 550 | 10±2nm | >90% | 50.8 | 200-1200nm | OD3 | 60-40 |
| JSL560-12.7 | 窄带干涉滤光片 | K9玻璃 | 560 | 10±2nm | >90% | 12.7 | 200-1200nm | OD3 | 60-40 |
| JSL560-25.4 | 窄带干涉滤光片 | K9玻璃 | 560 | 10±2nm | >90% | 25.4 | 200-1200nm | OD3 | 60-40 |
| JSL560-50.8 | 窄带干涉滤光片 | K9玻璃 | 560 | 10±2nm | >90% | 50.8 | 200-1200nm | OD3 | 60-40 |
| JSL565-12.7 | 窄带干涉滤光片 | K9玻璃 | 565 | 10±2nm | >90% | 12.7 | 200-1200nm | OD3 | 60-40 |
| JSL565-25.4 | 窄带干涉滤光片 | K9玻璃 | 565 | 10±2nm | >90% | 25.4 | 200-1200nm | OD3 | 60-40 |
| JSL565-50.8 | 窄带干涉滤光片 | K9玻璃 | 565 | 10±2nm | >90% | 50.8 | 200-1200nm | OD3 | 60-40 |
| JSL568.2-12.7 | 窄带干涉滤光片 | K9玻璃 | 568.2 | 10±2nm | >90% | 12.7 | 200-1200nm | OD3 | 60-40 |
| JSL568.2-25.4 | 窄带干涉滤光片 | K9玻璃 | 568.2 | 10±2nm | >90% | 25.4 | 200-1200nm | OD3 | 60-40 |
| JSL568.2-50.8 | 窄带干涉滤光片 | K9玻璃 | 568.2 | 10±2nm | >90% | 50.8 | 200-1200nm | OD3 | 60-40 |
| JSL570-12.7 | 窄带干涉滤光片 | K9玻璃 | 570 | 10±2nm | >90% | 12.7 | 200-1200nm | OD3 | 60-40 |
| JSL570-25.4 | 窄带干涉滤光片 | K9玻璃 | 570 | 10±2nm | >90% | 25.4 | 200-1200nm | OD3 | 60-40 |
| JSL570-50.8 | 窄带干涉滤光片 | K9玻璃 | 570 | 10±2nm | >90% | 50.8 | 200-1200nm | OD3 | 60-40 |
| JSL577.7-12.7 | 窄带干涉滤光片 | K9玻璃 | 577.7 | 10±2nm | >90% | 12.7 | 200-1200nm | OD3 | 60-40 |
| JSL577.7-25.4 | 窄带干涉滤光片 | K9玻璃 | 577.7 | 10±2nm | >90% | 25.4 | 200-1200nm | OD3 | 60-40 |
| JSL577.7-50.8 | 窄带干涉滤光片 | K9玻璃 | 577.7 | 10±2nm | >90% | 50.8 | 200-1200nm | OD3 | 60-40 |
| JSL580-12.7 | 窄带干涉滤光片 | K9玻璃 | 580 | 10±2nm | >90% | 12.7 | 200-1200nm | OD3 | 60-40 |
| JSL580-25.4 | 窄带干涉滤光片 | K9玻璃 | 580 | 10±2nm | >90% | 25.4 | 200-1200nm | OD3 | 60-40 |
| JSL580-50.8 | 窄带干涉滤光片 | K9玻璃 | 580 | 10±2nm | >90% | 50.8 | 200-1200nm | OD3 | 60-40 |
| JSL590-12.7 | 窄带干涉滤光片 | K9玻璃 | 590 | 10±2nm | >90% | 12.7 | 200-1200nm | OD3 | 60-40 |
| JSL590-25.4 | 窄带干涉滤光片 | K9玻璃 | 590 | 10±2nm | >90% | 25.4 | 200-1200nm | OD3 | 60-40 |
| JSL590-50.8 | 窄带干涉滤光片 | K9玻璃 | 590 | 10±2nm | >90% | 50.8 | 200-1200nm | OD3 | 60-40 |
| JSL600-12.7 | 窄带干涉滤光片 | K9玻璃 | 600 | 10±2nm | >90% | 12.7 | 200-1200nm | OD3 | 60-40 |
| JSL600-25.4 | 窄带干涉滤光片 | K9玻璃 | 600 | 10±2nm | >90% | 25.4 | 200-1200nm | OD3 | 60-40 |
| JSL600-50.8 | 窄带干涉滤光片 | K9玻璃 | 600 | 10±2nm | >90% | 50.8 | 200-1200nm | OD3 | 60-40 |

基础知识

激光窗口
及毛玻璃

反射镜

分束镜

透镜

激光扩束镜

显微物镜

棱镜

滤光片

偏振元件

激光器及其他

Tel: 010 56370168
www.zolix.com.cn

| 产品型号 | 中文产品名称 | 基板材质 | 中心波长 | 半峰值宽带 | 峰值透过率 | 产品尺寸(mm) | 截止范围 | 截止深度 | 表面光洁度 |
|---------------|---------|------|-------|--------|-------|----------|------------|------|-------|
| JSL610-12.7 | 窄带干涉滤光片 | K9玻璃 | 610 | 10±2nm | >90% | 12.7 | 200-1200nm | OD3 | 60-40 |
| JSL610-25.4 | 窄带干涉滤光片 | K9玻璃 | 610 | 10±2nm | >90% | 25.4 | 200-1200nm | OD3 | 60-40 |
| JSL610-50.8 | 窄带干涉滤光片 | K9玻璃 | 610 | 10±2nm | >90% | 50.8 | 200-1200nm | OD3 | 60-40 |
| JSL620-12.7 | 窄带干涉滤光片 | K9玻璃 | 620 | 10±2nm | >90% | 12.7 | 200-1200nm | OD3 | 60-40 |
| JSL620-25.4 | 窄带干涉滤光片 | K9玻璃 | 620 | 10±2nm | >90% | 25.4 | 200-1200nm | OD3 | 60-40 |
| JSL620-50.8 | 窄带干涉滤光片 | K9玻璃 | 620 | 10±2nm | >90% | 50.8 | 200-1200nm | OD3 | 60-40 |
| JSL630-12.7 | 窄带干涉滤光片 | K9玻璃 | 630 | 10±2nm | >90% | 12.7 | 200-1200nm | OD3 | 60-40 |
| JSL630-25.4 | 窄带干涉滤光片 | K9玻璃 | 630 | 10±2nm | >90% | 25.4 | 200-1200nm | OD3 | 60-40 |
| JSL630-50.8 | 窄带干涉滤光片 | K9玻璃 | 630 | 10±2nm | >90% | 50.8 | 200-1200nm | OD3 | 60-40 |
| JSL632.8-12.7 | 窄带干涉滤光片 | K9玻璃 | 632.8 | 10±2nm | >90% | 12.7 | 200-1200nm | OD3 | 60-40 |
| JSL632.8-25.4 | 窄带干涉滤光片 | K9玻璃 | 632.8 | 10±2nm | >90% | 25.4 | 200-1200nm | OD3 | 60-40 |
| JSL632.8-50.8 | 窄带干涉滤光片 | K9玻璃 | 632.8 | 10±2nm | >90% | 50.8 | 200-1200nm | OD3 | 60-40 |
| JSL636-12.7 | 窄带干涉滤光片 | K9玻璃 | 636 | 10±2nm | >90% | 12.7 | 200-1200nm | OD3 | 60-40 |
| JSL636-25.4 | 窄带干涉滤光片 | K9玻璃 | 636 | 10±2nm | >90% | 25.4 | 200-1200nm | OD3 | 60-40 |
| JSL636-50.8 | 窄带干涉滤光片 | K9玻璃 | 636 | 10±2nm | >90% | 50.8 | 200-1200nm | OD3 | 60-40 |
| JSL640-12.7 | 窄带干涉滤光片 | K9玻璃 | 640 | 10±2nm | >90% | 12.7 | 200-1200nm | OD3 | 60-40 |
| JSL640-25.4 | 窄带干涉滤光片 | K9玻璃 | 640 | 10±2nm | >90% | 25.4 | 200-1200nm | OD3 | 60-40 |
| JSL640-50.8 | 窄带干涉滤光片 | K9玻璃 | 640 | 10±2nm | >90% | 50.8 | 200-1200nm | OD3 | 60-40 |
| JSL647-12.7 | 窄带干涉滤光片 | K9玻璃 | 647 | 10±2nm | >90% | 12.7 | 200-1200nm | OD3 | 60-40 |
| JSL647-25.4 | 窄带干涉滤光片 | K9玻璃 | 647 | 10±2nm | >90% | 25.4 | 200-1200nm | OD3 | 60-40 |
| JSL647-50.8 | 窄带干涉滤光片 | K9玻璃 | 647 | 10±2nm | >90% | 50.8 | 200-1200nm | OD3 | 60-40 |
| JSL650-12.7 | 窄带干涉滤光片 | K9玻璃 | 650 | 10±2nm | >90% | 12.7 | 200-1200nm | OD3 | 60-40 |
| JSL650-25.4 | 窄带干涉滤光片 | K9玻璃 | 650 | 10±2nm | >90% | 25.4 | 200-1200nm | OD3 | 60-40 |
| JSL650-50.8 | 窄带干涉滤光片 | K9玻璃 | 650 | 10±2nm | >90% | 50.8 | 200-1200nm | OD3 | 60-40 |
| JSL656.3-12.7 | 窄带干涉滤光片 | K9玻璃 | 656.3 | 10±2nm | >90% | 12.7 | 200-1200nm | OD3 | 60-40 |
| JSL656.3-25.4 | 窄带干涉滤光片 | K9玻璃 | 656.3 | 10±2nm | >90% | 25.4 | 200-1200nm | OD3 | 60-40 |
| JSL656.3-50.8 | 窄带干涉滤光片 | K9玻璃 | 656.3 | 10±2nm | >90% | 50.8 | 200-1200nm | OD3 | 60-40 |
| JSL660-12.7 | 窄带干涉滤光片 | K9玻璃 | 660 | 10±2nm | >90% | 12.7 | 200-1200nm | OD3 | 60-40 |
| JSL660-25.4 | 窄带干涉滤光片 | K9玻璃 | 660 | 10±2nm | >90% | 25.4 | 200-1200nm | OD3 | 60-40 |
| JSL660-50.8 | 窄带干涉滤光片 | K9玻璃 | 660 | 10±2nm | >90% | 50.8 | 200-1200nm | OD3 | 60-40 |

| 产品型号 | 中文产品名称 | 基板材质 | 中心波长 | 半峰值宽带 | 峰值透过率 | 产品尺寸(mm) | 截止范围 | 截止深度 | 表面光洁度 |
|---------------|---------|------|-------|--------|-------|----------|------------|------|-------|
| JSL668-12.7 | 窄带干涉滤光片 | K9玻璃 | 668 | 10±2nm | >90% | 12.7 | 200-1200nm | OD3 | 60-40 |
| JSL668-25.4 | 窄带干涉滤光片 | K9玻璃 | 668 | 10±2nm | >90% | 25.4 | 200-1200nm | OD3 | 60-40 |
| JSL668-50.8 | 窄带干涉滤光片 | K9玻璃 | 668 | 10±2nm | >90% | 50.8 | 200-1200nm | OD3 | 60-40 |
| JSL670-12.7 | 窄带干涉滤光片 | K9玻璃 | 670 | 10±2nm | >90% | 12.7 | 200-1200nm | OD3 | 60-40 |
| JSL670-25.4 | 窄带干涉滤光片 | K9玻璃 | 670 | 10±2nm | >90% | 25.4 | 200-1200nm | OD3 | 60-40 |
| JSL670-50.8 | 窄带干涉滤光片 | K9玻璃 | 670 | 10±2nm | >90% | 50.8 | 200-1200nm | OD3 | 60-40 |
| JSL680-12.7 | 窄带干涉滤光片 | K9玻璃 | 680 | 10±2nm | >90% | 12.7 | 200-1200nm | OD3 | 60-40 |
| JSL680-25.4 | 窄带干涉滤光片 | K9玻璃 | 680 | 10±2nm | >90% | 25.4 | 200-1200nm | OD3 | 60-40 |
| JSL680-50.8 | 窄带干涉滤光片 | K9玻璃 | 680 | 10±2nm | >90% | 50.8 | 200-1200nm | OD3 | 60-40 |
| JSL690-12.7 | 窄带干涉滤光片 | K9玻璃 | 690 | 10±2nm | >90% | 12.7 | 200-1200nm | OD3 | 60-40 |
| JSL690-25.4 | 窄带干涉滤光片 | K9玻璃 | 690 | 10±2nm | >90% | 25.4 | 200-1200nm | OD3 | 60-40 |
| JSL690-50.8 | 窄带干涉滤光片 | K9玻璃 | 690 | 10±2nm | >90% | 50.8 | 200-1200nm | OD3 | 60-40 |
| JSL694.3-12.7 | 窄带干涉滤光片 | K9玻璃 | 694.3 | 10±2nm | >90% | 12.7 | 200-1200nm | OD3 | 60-40 |
| JSL694.3-25.4 | 窄带干涉滤光片 | K9玻璃 | 694.3 | 10±2nm | >90% | 25.4 | 200-1200nm | OD3 | 60-40 |
| JSL694.3-50.8 | 窄带干涉滤光片 | K9玻璃 | 694.3 | 10±2nm | >90% | 50.8 | 200-1200nm | OD3 | 60-40 |
| JSL700-12.7 | 窄带干涉滤光片 | K9玻璃 | 700 | 10±2nm | >90% | 12.7 | 200-1200nm | OD3 | 60-40 |
| JSL700-25.4 | 窄带干涉滤光片 | K9玻璃 | 700 | 10±2nm | >90% | 25.4 | 200-1200nm | OD3 | 60-40 |
| JSL700-50.8 | 窄带干涉滤光片 | K9玻璃 | 700 | 10±2nm | >90% | 50.8 | 200-1200nm | OD3 | 60-40 |
| JSL710-12.7 | 窄带干涉滤光片 | K9玻璃 | 710 | 10±2nm | >90% | 12.7 | 200-1200nm | OD3 | 60-40 |
| JSL710-25.4 | 窄带干涉滤光片 | K9玻璃 | 710 | 10±2nm | >90% | 25.4 | 200-1200nm | OD3 | 60-40 |
| JSL710-50.8 | 窄带干涉滤光片 | K9玻璃 | 710 | 10±2nm | >90% | 50.8 | 200-1200nm | OD3 | 60-40 |
| JSL720-12.7 | 窄带干涉滤光片 | K9玻璃 | 720 | 10±2nm | >90% | 12.7 | 200-1200nm | OD3 | 60-40 |
| JSL720-25.4 | 窄带干涉滤光片 | K9玻璃 | 720 | 10±2nm | >90% | 25.4 | 200-1200nm | OD3 | 60-40 |
| JSL720-50.8 | 窄带干涉滤光片 | K9玻璃 | 720 | 10±2nm | >90% | 50.8 | 200-1200nm | OD3 | 60-40 |

| 产品型号 | 中文产品名称 | 基板材质 | 中心波长 | 半峰值宽带 | 峰值透过率 | 产品尺寸(mm) | 截止范围 | 截止深度 | 表面光洁度 |
|-------------|---------|------|------|--------|-------|----------|------------|------|-------|
| JSL730-12.7 | 窄带干涉滤光片 | K9玻璃 | 730 | 10±2nm | >90% | 12.7 | 200-1200nm | OD3 | 60-40 |
| JSL730-25.4 | 窄带干涉滤光片 | K9玻璃 | 730 | 10±2nm | >90% | 25.4 | 200-1200nm | OD3 | 60-40 |
| JSL730-50.8 | 窄带干涉滤光片 | K9玻璃 | 730 | 10±2nm | >90% | 50.8 | 200-1200nm | OD3 | 60-40 |
| JSL740-12.7 | 窄带干涉滤光片 | K9玻璃 | 740 | 10±2nm | >90% | 12.7 | 200-1200nm | OD3 | 60-40 |
| JSL740-25.4 | 窄带干涉滤光片 | K9玻璃 | 740 | 10±2nm | >90% | 25.4 | 200-1200nm | OD3 | 60-40 |
| JSL740-50.8 | 窄带干涉滤光片 | K9玻璃 | 740 | 10±2nm | >90% | 50.8 | 200-1200nm | OD3 | 60-40 |
| JSL750-12.7 | 窄带干涉滤光片 | K9玻璃 | 750 | 10±2nm | >90% | 12.7 | 200-1200nm | OD3 | 60-40 |
| JSL750-25.4 | 窄带干涉滤光片 | K9玻璃 | 750 | 10±2nm | >90% | 25.4 | 200-1200nm | OD3 | 60-40 |
| JSL750-50.8 | 窄带干涉滤光片 | K9玻璃 | 750 | 10±2nm | >90% | 50.8 | 200-1200nm | OD3 | 60-40 |
| JSL760-12.7 | 窄带干涉滤光片 | K9玻璃 | 760 | 10±2nm | >90% | 12.7 | 200-1200nm | OD3 | 60-40 |
| JSL760-25.4 | 窄带干涉滤光片 | K9玻璃 | 760 | 10±2nm | >90% | 25.4 | 200-1200nm | OD3 | 60-40 |
| JSL760-50.8 | 窄带干涉滤光片 | K9玻璃 | 760 | 10±2nm | >90% | 50.8 | 200-1200nm | OD3 | 60-40 |
| JSL768-12.7 | 窄带干涉滤光片 | K9玻璃 | 768 | 10±2nm | >90% | 12.7 | 200-1200nm | OD3 | 60-40 |
| JSL768-25.4 | 窄带干涉滤光片 | K9玻璃 | 768 | 10±2nm | >90% | 25.4 | 200-1200nm | OD3 | 60-40 |
| JSL768-50.8 | 窄带干涉滤光片 | K9玻璃 | 768 | 10±2nm | >90% | 50.8 | 200-1200nm | OD3 | 60-40 |
| JSL770-12.7 | 窄带干涉滤光片 | K9玻璃 | 770 | 10±2nm | >90% | 12.7 | 200-1200nm | OD3 | 60-40 |
| JSL770-25.4 | 窄带干涉滤光片 | K9玻璃 | 770 | 10±2nm | >90% | 25.4 | 200-1200nm | OD3 | 60-40 |
| JSL770-50.8 | 窄带干涉滤光片 | K9玻璃 | 770 | 10±2nm | >90% | 50.8 | 200-1200nm | OD3 | 60-40 |
| JSL780-12.7 | 窄带干涉滤光片 | K9玻璃 | 780 | 10±2nm | >90% | 12.7 | 200-1200nm | OD3 | 60-40 |
| JSL780-25.4 | 窄带干涉滤光片 | K9玻璃 | 780 | 10±2nm | >90% | 25.4 | 200-1200nm | OD3 | 60-40 |
| JSL780-50.8 | 窄带干涉滤光片 | K9玻璃 | 780 | 10±2nm | >90% | 50.8 | 200-1200nm | OD3 | 60-40 |
| JSL785-12.7 | 窄带干涉滤光片 | K9玻璃 | 785 | 10±2nm | >90% | 12.7 | 200-1200nm | OD3 | 60-40 |
| JSL785-25.4 | 窄带干涉滤光片 | K9玻璃 | 785 | 10±2nm | >90% | 25.4 | 200-1200nm | OD3 | 60-40 |
| JSL785-50.8 | 窄带干涉滤光片 | K9玻璃 | 785 | 10±2nm | >90% | 50.8 | 200-1200nm | OD3 | 60-40 |
| JSL790-12.7 | 窄带干涉滤光片 | K9玻璃 | 790 | 10±2nm | >90% | 12.7 | 200-1200nm | OD3 | 60-40 |
| JSL790-25.4 | 窄带干涉滤光片 | K9玻璃 | 790 | 10±2nm | >90% | 25.4 | 200-1200nm | OD3 | 60-40 |
| JSL790-50.8 | 窄带干涉滤光片 | K9玻璃 | 790 | 10±2nm | >90% | 50.8 | 200-1200nm | OD3 | 60-40 |
| JSL800-12.7 | 窄带干涉滤光片 | K9玻璃 | 800 | 10±2nm | >90% | 12.7 | 200-1200nm | OD3 | 60-40 |
| JSL800-25.4 | 窄带干涉滤光片 | K9玻璃 | 800 | 10±2nm | >90% | 25.4 | 200-1200nm | OD3 | 60-40 |
| JSL800-50.8 | 窄带干涉滤光片 | K9玻璃 | 800 | 10±2nm | >90% | 50.8 | 200-1200nm | OD3 | 60-40 |

| 产品型号 | 中文产品名称 | 基板材质 | 中心波长 | 半峰值宽带 | 峰值透过率 | 产品尺寸(mm) | 截止范围 | 截止深度 | 表面光洁度 |
|-------------|---------|------|------|--------|-------|----------|------------|------|-------|
| JSL810-12.7 | 窄带干涉滤光片 | K9玻璃 | 810 | 10±2nm | >90% | 12.7 | 200-1200nm | OD3 | 60-40 |
| JSL810-25.4 | 窄带干涉滤光片 | K9玻璃 | 810 | 10±2nm | >90% | 25.4 | 200-1200nm | OD3 | 60-40 |
| JSL810-50.8 | 窄带干涉滤光片 | K9玻璃 | 810 | 10±2nm | >90% | 50.8 | 200-1200nm | OD3 | 60-40 |
| JSL815-12.7 | 窄带干涉滤光片 | K9玻璃 | 815 | 10±2nm | >90% | 12.7 | 200-1200nm | OD3 | 60-40 |
| JSL815-25.4 | 窄带干涉滤光片 | K9玻璃 | 815 | 10±2nm | >90% | 25.4 | 200-1200nm | OD3 | 60-40 |
| JSL815-50.8 | 窄带干涉滤光片 | K9玻璃 | 815 | 10±2nm | >90% | 50.8 | 200-1200nm | OD3 | 60-40 |
| JSL820-12.7 | 窄带干涉滤光片 | K9玻璃 | 820 | 10±2nm | >90% | 12.7 | 200-1200nm | OD3 | 60-40 |
| JSL820-25.4 | 窄带干涉滤光片 | K9玻璃 | 820 | 10±2nm | >90% | 25.4 | 200-1200nm | OD3 | 60-40 |
| JSL820-50.8 | 窄带干涉滤光片 | K9玻璃 | 820 | 10±2nm | >90% | 50.8 | 200-1200nm | OD3 | 60-40 |
| JSL830-12.7 | 窄带干涉滤光片 | K9玻璃 | 830 | 10±2nm | >90% | 12.7 | 200-1200nm | OD3 | 60-40 |
| JSL830-25.4 | 窄带干涉滤光片 | K9玻璃 | 830 | 10±2nm | >90% | 25.4 | 200-1200nm | OD3 | 60-40 |
| JSL830-50.8 | 窄带干涉滤光片 | K9玻璃 | 830 | 10±2nm | >90% | 50.8 | 200-1200nm | OD3 | 60-40 |
| JSL840-12.7 | 窄带干涉滤光片 | K9玻璃 | 840 | 10±2nm | >90% | 12.7 | 200-1200nm | OD3 | 60-40 |
| JSL840-25.4 | 窄带干涉滤光片 | K9玻璃 | 840 | 10±2nm | >90% | 25.4 | 200-1200nm | OD3 | 60-40 |
| JSL840-50.8 | 窄带干涉滤光片 | K9玻璃 | 840 | 10±2nm | >90% | 50.8 | 200-1200nm | OD3 | 60-40 |
| JSL850-12.7 | 窄带干涉滤光片 | K9玻璃 | 850 | 10±2nm | >90% | 12.7 | 200-1200nm | OD3 | 60-40 |
| JSL850-25.4 | 窄带干涉滤光片 | K9玻璃 | 850 | 10±2nm | >90% | 25.4 | 200-1200nm | OD3 | 60-40 |
| JSL850-50.8 | 窄带干涉滤光片 | K9玻璃 | 850 | 10±2nm | >90% | 50.8 | 200-1200nm | OD3 | 60-40 |
| JSL855-12.7 | 窄带干涉滤光片 | K9玻璃 | 855 | 10±2nm | >90% | 12.7 | 200-1200nm | OD3 | 60-40 |
| JSL855-25.4 | 窄带干涉滤光片 | K9玻璃 | 855 | 10±2nm | >90% | 25.4 | 200-1200nm | OD3 | 60-40 |
| JSL855-50.8 | 窄带干涉滤光片 | K9玻璃 | 855 | 10±2nm | >90% | 50.8 | 200-1200nm | OD3 | 60-40 |

基础知识

激光窗口
及毛玻璃

反射镜

分束镜

透镜

激光扩束镜

显微物镜

棱镜

滤光片

偏振元件

激光器及其他

Tel: 010 56370168
www.zolix.com.cn

| 产品型号 | 中文产品名称 | 基板材质 | 中心波长 | 半峰值宽带 | 峰值透过率 | 产品尺寸(mm) | 截止范围 | 截止深度 | 表面光洁度 |
|-------------|---------|------|------|--------|-------|----------|------------|------|-------|
| JSL860-12.7 | 窄带干涉滤光片 | K9玻璃 | 860 | 10±2nm | >90% | 12.7 | 200-1200nm | OD3 | 60-40 |
| JSL860-25.4 | 窄带干涉滤光片 | K9玻璃 | 860 | 10±2nm | >90% | 25.4 | 200-1200nm | OD3 | 60-40 |
| JSL860-50.8 | 窄带干涉滤光片 | K9玻璃 | 860 | 10±2nm | >90% | 50.8 | 200-1200nm | OD3 | 60-40 |
| JSL870-12.7 | 窄带干涉滤光片 | K9玻璃 | 870 | 10±2nm | >90% | 12.7 | 200-1200nm | OD3 | 60-40 |
| JSL870-25.4 | 窄带干涉滤光片 | K9玻璃 | 870 | 10±2nm | >90% | 25.4 | 200-1200nm | OD3 | 60-40 |
| JSL870-50.8 | 窄带干涉滤光片 | K9玻璃 | 870 | 10±2nm | >90% | 50.8 | 200-1200nm | OD3 | 60-40 |
| JSL880-12.7 | 窄带干涉滤光片 | K9玻璃 | 880 | 10±2nm | >90% | 12.7 | 200-1200nm | OD3 | 60-40 |
| JSL880-25.4 | 窄带干涉滤光片 | K9玻璃 | 880 | 10±2nm | >90% | 25.4 | 200-1200nm | OD3 | 60-40 |
| JSL880-50.8 | 窄带干涉滤光片 | K9玻璃 | 880 | 10±2nm | >90% | 50.8 | 200-1200nm | OD3 | 60-40 |
| JSL885-12.7 | 窄带干涉滤光片 | K9玻璃 | 885 | 10±2nm | >90% | 12.7 | 200-1200nm | OD3 | 60-40 |
| JSL885-25.4 | 窄带干涉滤光片 | K9玻璃 | 885 | 10±2nm | >90% | 25.4 | 200-1200nm | OD3 | 60-40 |
| JSL885-50.8 | 窄带干涉滤光片 | K9玻璃 | 885 | 10±2nm | >90% | 50.8 | 200-1200nm | OD3 | 60-40 |
| JSL890-12.7 | 窄带干涉滤光片 | K9玻璃 | 890 | 10±2nm | >90% | 12.7 | 200-1200nm | OD3 | 60-40 |
| JSL890-25.4 | 窄带干涉滤光片 | K9玻璃 | 890 | 10±2nm | >90% | 25.4 | 200-1200nm | OD3 | 60-40 |
| JSL890-50.8 | 窄带干涉滤光片 | K9玻璃 | 890 | 10±2nm | >90% | 50.8 | 200-1200nm | OD3 | 60-40 |

SIGMA KOKI窄带干涉滤光片

具有1nm到40nm的光谱宽度(半峰宽),只透过指定波长的滤光片。

用于从谱线光源中只取出特定波长的光时,或从多波长振荡的激光中只取出特定波长时。

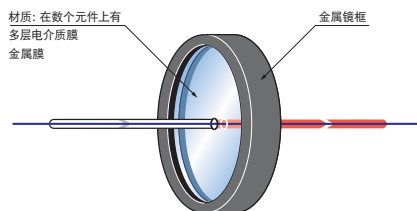
通过电介质膜和金属膜的多层镀膜,实现了陡峭的上升和截止区域的阻挡。

干涉滤光片被固定在金属框内,便于操作和固定到支架上。

可以从214nm的紫外谱区到1550nm的红外谱区内的多种波长中选择滤光片。

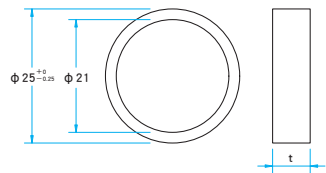


功能说明图



外形图

(单位: mm)



共同指标

| | |
|---------|--------------------------|
| 截止区域透过率 | <0.01% (1nm~3.0 μ m) |
| 表面质量 | 80-50 |
| 入射角度 | 0° |
| 镀膜 | 多层电介质膜, 金属膜 |

注意

干涉滤光片的特性受入射角度影响,相对光轴有倾斜角度时,中心波长向较短波长一侧移动,透过率也会降低。请相对光轴以0度射入平行光线或近似的平行的光线。半峰宽越窄的滤光片受角度影响越大。中心波长的公差设置在较长波长一侧,是因为考虑到干涉滤光片的角度依赖性。

各滤光片的技术指标值为气温23℃的数值。随着温度上升波长向较长波长一侧移动。

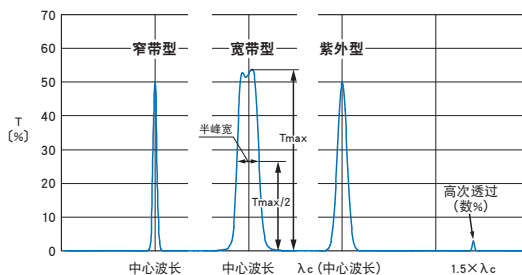
为了发挥滤光片的高性能,每个都进行了精密的调节。因此每个滤光片的厚度都不一样。

由于干涉滤光片存在光量的吸收,不可用于高输出激光和高能量的脉冲激光。

关于半峰宽和滤光片的种类

体现带通滤光片特征的一个指标是半峰宽。半峰宽的定义如右图所示。

此外,滤光片被分为窄带型、宽带型和紫外型三种。



| 214.0nm~647.1nm | | | | | | |
|---------------------|--|----------------|----------|-----------|-----------|----|
| 型号 | 中心波长 (nm) | 激光或谱线 | 半峰宽 (nm) | 最大透过率 (%) | 厚度 t (mm) | 类型 |
| VPF-25C-10-12-21400 | 214.0 ^{+3.0} _{-0.0} | Zn | 10.0±2.0 | > 12 | < 4 | 紫外 |
| VPF-25C-10-15-22800 | 228.0 ^{+3.0} _{-0.0} | Cd | 10.0±2.0 | > 15 | < 4 | 紫外 |
| VPF-25C-10-15-23200 | 232.0 ^{+3.0} _{-0.0} | Ni | 10.0±2.0 | > 15 | < 4 | 紫外 |
| VPF-25C-10-15-23900 | 239.0 ^{+3.0} _{-0.0} | Co | 10.0±2.0 | > 15 | < 4 | 紫外 |
| VPF-25C-10-12-25370 | 253.7 ^{+3.0} _{-0.0} | Hg | 10.0±2.0 | > 12 | < 4 | 紫外 |
| VPF-25C-10-12-26500 | 265.0 ^{+3.0} _{-0.0} | Hg | 10.0±2.0 | > 12 | < 4 | 紫外 |
| VPF-25C-10-12-28000 | 280.0 ^{+3.0} _{-0.0} | Hg | 10.0±2.0 | > 12 | < 4 | 紫外 |
| VPF-25C-10-15-28900 | 289.0 ^{+3.0} _{-0.0} | Hg | 10.0±2.0 | > 15 | < 4 | 紫外 |
| VPF-25C-10-15-29670 | 296.7 ^{+3.0} _{-0.0} | Hg | 10.0±2.0 | > 15 | < 4 | 紫外 |
| VPF-25C-10-15-30710 | 307.1 ^{+3.0} _{-0.0} | Zn | 10.0±2.0 | > 15 | < 4 | 紫外 |
| VPF-25C-10-15-31300 | 313.0 ^{+3.0} _{-0.0} | Hg | 10.0±2.0 | > 15 | < 4 | 紫外 |
| VPF-25C-10-25-32600 | 326.0 ^{+3.0} _{-0.0} | Cd | 10.0±2.0 | > 25 | < 8 | 宽带 |
| VPF-25C-10-25-33400 | 334.0 ^{+3.0} _{-0.0} | Hg | 10.0±2.0 | > 25 | < 8 | 宽带 |
| VPF-25C-03-20-33710 | 337.1 ^{+0.5} _{-0.0} | N ₂ | 3.0±0.5 | > 20 | < 7 | 窄带 |
| VPF-25C-10-25-33710 | 337.1 ^{+3.0} _{-0.0} | N ₂ | 10.0±2.0 | > 25 | < 7 | 宽带 |
| VPF-25C-10-25-35000 | 350.0 ^{+3.0} _{-0.0} | — | 10.0±2.0 | > 25 | < 7 | 宽带 |
| VPF-25C-40-25-35000 | 350.0 ^{+10.0} _{-0.0} | — | 40.0±8.0 | > 25 | < 7 | 宽带 |
| VPF-25C-10-25-35500 | 355.0 ^{+3.0} _{-0.0} | YAG3ω | 10.0±2.0 | > 25 | < 7 | 宽带 |
| VPF-25C-10-25-36500 | 365.0 ^{+3.0} _{-0.0} | Hg | 10.0±2.0 | > 25 | < 7 | 宽带 |
| VPF-25C-10-40-40000 | 400.0 ^{+3.0} _{-0.0} | — | 10.0±2.0 | > 40 | < 7 | 宽带 |
| VPF-25C-40-40-40000 | 400.0 ^{+10.0} _{-0.0} | — | 40.0±8.0 | > 40 | < 7 | 宽带 |
| VPF-25C-10-40-40470 | 404.7 ^{+3.0} _{-0.0} | Hg | 10.0±2.0 | > 40 | < 7 | 宽带 |
| VPF-25C-10-40-43580 | 435.8 ^{+3.0} _{-0.0} | Hg | 10.0±2.0 | > 40 | < 7 | 宽带 |
| VPF-25C-01-30-44160 | 441.6 ^{+0.2} _{-0.0} | He-Cd | 1.0±0.2 | > 30 | < 8.5 | 窄带 |
| VPF-25C-03-35-44160 | 441.6 ^{+0.5} _{-0.0} | He-Cd | 3.0±0.5 | > 35 | < 8.5 | 窄带 |
| VPF-25C-10-45-44160 | 441.6 ^{+3.0} _{-0.0} | He-Cd | 10.0±2.0 | > 45 | < 7 | 宽带 |
| VPF-25C-10-45-45000 | 450.0 ^{+3.0} _{-0.0} | — | 10.0±2.0 | > 45 | < 7 | 宽带 |
| VPF-25C-40-50-45000 | 450.0 ^{+10.0} _{-0.0} | — | 40.0±8.0 | > 50 | < 7 | 宽带 |
| VPF-25C-10-45-45550 | 455.5 ^{+3.0} _{-0.0} | Cs | 10.0±2.0 | > 45 | < 7 | 宽带 |
| VPF-25C-01-30-45790 | 457.9 ^{+0.2} _{-0.0} | Ar | 1.0±0.2 | > 30 | < 8.5 | 窄带 |
| VPF-25C-03-35-45790 | 457.9 ^{+0.5} _{-0.0} | Ar | 3.0±0.5 | > 35 | < 8.5 | 窄带 |
| VPF-25C-10-45-45790 | 457.9 ^{+3.0} _{-0.0} | Ar | 10.0±2.0 | > 45 | < 7 | 宽带 |
| VPF-25C-10-45-48610 | 486.1 ^{+3.0} _{-0.0} | H | 10.0±2.0 | > 45 | < 7 | 宽带 |
| VPF-25C-01-40-48800 | 488.0 ^{+0.2} _{-0.0} | Ar | 1.0±0.2 | > 40 | < 8.5 | 窄带 |
| VPF-25C-03-45-48800 | 488.0 ^{+0.5} _{-0.0} | Ar | 3.0±0.5 | > 45 | < 8.5 | 窄带 |
| VPF-25C-10-50-48800 | 488.0 ^{+3.0} _{-0.0} | Ar | 10.0±2.0 | > 50 | < 7 | 宽带 |
| VPF-25C-10-50-50000 | 500.0 ^{+3.0} _{-0.0} | — | 10.0±2.0 | > 50 | < 7 | 宽带 |
| VPF-25C-40-50-50000 | 500.0 ^{+10.0} _{-0.0} | — | 40.0±8.0 | > 50 | < 7 | 宽带 |
| VPF-25C-10-50-50850 | 508.5 ^{+3.0} _{-0.0} | Cd | 10.0±2.0 | > 50 | < 7 | 宽带 |
| VPF-25C-01-40-51450 | 514.5 ^{+0.2} _{-0.0} | Ar | 1.0±0.2 | > 40 | < 8.5 | 窄带 |
| VPF-25C-03-45-51450 | 514.5 ^{+0.5} _{-0.0} | Ar | 3.0±0.5 | > 45 | < 8.5 | 窄带 |
| VPF-25C-10-50-51450 | 514.5 ^{+3.0} _{-0.0} | Ar | 10.0±2.0 | > 50 | < 7 | 宽带 |
| VPF-25C-01-40-53200 | 532.0 ^{+0.2} _{-0.0} | YAG2ω | 1.0±0.2 | > 40 | < 8.5 | 窄带 |
| VPF-25C-03-45-53200 | 532.0 ^{+0.5} _{-0.0} | YAG2ω | 3.0±0.5 | > 45 | < 8.5 | 窄带 |
| VPF-25C-10-50-53200 | 532.0 ^{+3.0} _{-0.0} | YAG2ω | 10.0±2.0 | > 50 | < 7 | 宽带 |
| VPF-25C-10-50-53500 | 535.0 ^{+3.0} _{-0.0} | Ti | 10.0±2.0 | > 50 | < 7 | 宽带 |
| VPF-25C-10-50-54610 | 546.1 ^{+3.0} _{-0.0} | Hg | 10.0±2.0 | > 50 | < 7 | 宽带 |
| VPF-25C-10-50-55000 | 550.0 ^{+3.0} _{-0.0} | — | 10.0±2.0 | > 50 | < 7 | 宽带 |
| VPF-25C-40-50-55000 | 550.0 ^{+10.0} _{-0.0} | — | 40.0±8.0 | > 50 | < 7 | 宽带 |
| VPF-25C-10-50-57700 | 577.0 ^{+3.0} _{-0.0} | Hg | 10.0±2.0 | > 50 | < 7 | 宽带 |
| VPF-25C-10-50-58930 | 589.3 ^{+3.0} _{-0.0} | Na | 10.0±2.0 | > 50 | < 7 | 宽带 |
| VPF-25C-10-50-60000 | 600.0 ^{+3.0} _{-0.0} | — | 10.0±2.0 | > 50 | < 7 | 宽带 |
| VPF-25C-40-50-60000 | 600.0 ^{+10.0} _{-0.0} | — | 40.0±8.0 | > 50 | < 7 | 宽带 |
| VPF-25C-01-40-63280 | 632.8 ^{+0.2} _{-0.0} | He-Ne | 1.0±0.2 | > 40 | < 8.5 | 窄带 |
| VPF-25C-03-45-63280 | 632.8 ^{+0.5} _{-0.0} | He-Ne | 3.0±0.5 | > 45 | < 8.5 | 窄带 |
| VPF-25C-10-50-63280 | 632.8 ^{+3.0} _{-0.0} | He-Ne | 10.0±2.0 | > 50 | < 7 | 宽带 |
| VPF-25C-10-50-63620 | 636.2 ^{+3.0} _{-0.0} | Zn | 10.0±2.0 | > 50 | < 7 | 宽带 |
| VPF-25C-03-45-64710 | 647.1 ^{+0.5} _{-0.0} | Kr | 3.0±0.5 | > 45 | < 8.5 | 窄带 |
| VPF-25C-10-50-64710 | 647.1 ^{+3.0} _{-0.0} | Kr | 10.0±2.0 | > 50 | < 7 | 宽带 |

| 650.0nm~1550.0nm | | | | | | |
|---------------------|--|-------|-------------|--------------|--------------|----|
| 型号 | 中心波长 (nm) | 激光或谱线 | 半峰宽 (nm) | 最大透过率 (%) | 厚度 t (mm) | 类型 |
| VPF-25C-10-50-65000 | 650.0 ^{+3.0} _{-0.0} | — | 10.0±2.0 | > 50 | < 7 | 宽带 |
| VPF-25C-40-50-65000 | 650.0 ^{+10.0} _{-0.0} | — | 40.0±8.0 | > 50 | < 7 | 宽带 |
| VPF-25C-10-50-65630 | 656.3 ^{+3.0} _{-0.0} | H | 10.0±2.0 | > 50 | < 7 | 宽带 |
| VPF-25C-10-50-67000 | 670.0 ^{+3.0} _{-0.0} | LD | 10.0±2.0 | > 50 | < 7 | 宽带 |
| VPF-25C-10-50-69430 | 694.3 ^{+3.0} _{-0.0} | Ruby | 10.0±2.0 | > 50 | < 7 | 宽带 |
| VPF-25C-10-50-70000 | 700.0 ^{+3.0} _{-0.0} | — | 10.0±2.0 | > 50 | < 7 | 宽带 |
| VPF-25C-40-50-70000 | 700.0 ^{+10.0} _{-0.0} | — | 40.0±8.0 | > 50 | < 7 | 宽带 |
| VPF-25C-10-45-75000 | 750.0 ^{+3.0} _{-0.0} | — | 10.0±2.0 | > 45 | < 7 | 宽带 |
| VPF-25C-40-40-75000 | 750.0 ^{+10.0} _{-0.0} | — | 40.0±8.0 | > 40 | < 7 | 宽带 |
| VPF-25C-10-45-76650 | 766.5 ^{+3.0} _{-0.0} | K | 10.0±2.0 | > 45 | < 7 | 宽带 |
| VPF-25C-10-45-78000 | 780.0 ^{+3.0} _{-0.0} | LD | 10.0±2.0 | > 45 | < 7 | 宽带 |
| VPF-25C-10-45-79470 | 794.7 ^{+3.0} _{-0.0} | Rb | 10.0±2.0 | > 45 | < 7 | 宽带 |
| VPF-25C-10-45-80000 | 800.0 ^{+3.0} _{-0.0} | — | 10.0±2.0 | > 45 | < 7 | 宽带 |
| VPF-25C-40-45-80000 | 800.0 ^{+10.0} _{-0.0} | — | 40.0±8.0 | > 45 | < 7 | 宽带 |
| VPF-25C-10-45-81000 | 810.0 ^{+3.0} _{-0.0} | LD | 10.0±2.0 | > 45 | < 7 | 宽带 |
| VPF-25C-10-45-83000 | 830.0 ^{+3.0} _{-0.0} | LD | 10.0±2.0 | > 45 | < 7 | 宽带 |
| VPF-25C-10-45-90500 | 905.0 ^{+3.0} _{-0.0} | LD | 10.0±2.0 | > 45 | < 7 | 宽带 |
| VPF-25C-10-40-10140 | 1014.0 ^{+3.0} _{-0.0} | Hg | 10.0±2.0 | > 40 | < 8.5 | 宽带 |
| VPF-25C-01-30-10640 | 1064.0 ^{+0.5} _{-0.0} | YAG | 1.0±0.2 | > 30 | < 8.5 | 窄带 |
| VPF-25C-03-35-10640 | 1064.0 ^{+0.5} _{-0.0} | YAG | 3.0±0.5 | > 35 | < 8.5 | 窄带 |
| VPF-25C-10-40-10640 | 1064.0 ^{+3.0} _{-0.0} | YAG | 10.0±2.0 | > 40 | < 8.5 | 宽带 |
| VPF-25C-10-35-13000 | 1300.0 ^{+3.0} _{-0.0} | LD | 10.0±2.0 | > 35 | < 8.5 | 窄带 |
| VPF-25C-10-30-15000 | 1500.0 ^{+3.0} _{-0.0} | LD | 10.0±2.0 | > 30 | < 8.5 | 窄带 |
| VPF-25C-10-30-15500 | 1550.0 ^{+3.0} _{-0.0} | LD | 10.0±2.0 | > 30 | < 8.5 | 窄带 |